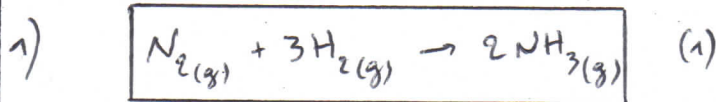


PREMIER PROBLEME:

La chimie de l'azote: Quelques applications industrielles (d'après banque PT 2020)

1) Synthèse de l'ammoniac:



2)
$$\boxed{\Delta_f H^\circ(N_{2(g)}) = \Delta_f H^\circ(H_{2(g)}) = 0}$$

car $N_{2(g)}$ et $H_{2(g)}$ sont les états standard de référence (pour l'élément N et l'élément H) à 298K. Ce sont les corps les plus simples les plus stables à 298K.

3)
$$\Delta_r H^\circ = 2 \Delta_f H^\circ(NH_{3(g)}) - \Delta_f H^\circ(N_{2(g)}) - 3 \Delta_f H^\circ(H_{2(g)})$$

 loi de Hess

$$= 2 \times (-46)$$

$$\boxed{\Delta_r H^\circ = -92 \text{ kJ.mol}^{-1}}$$

$\Delta_r H^\circ < 0 \Rightarrow$ la réaction de synthèse de l'ammoniac (sens direct) est exothermique.

4)
$$\Delta_r S^\circ = 2S_m^\circ(NH_{3(g)}) - S_m^\circ(N_{2(g)}) - 3S_m^\circ(H_{2(g)})$$

$$= 2 \times 192 - 190 - 3 \times 130$$

$$\boxed{\Delta_r S^\circ = -136 \text{ J.mol}^{-1}.K^{-1}}$$

$\Delta_r S^\circ < 0$: OK car $\sum_i \nu_i(g) = 2 - 1 - 3 = -2 < 0$

il y a plus de gaz à gauche qu'à droite
 désordre
 entropie

$\Rightarrow \Delta_r S^\circ < 0$

5)
$$\Delta_r G^\circ = \Delta_r H^\circ - T \Delta_r S^\circ \quad (\Delta_r H^\circ \text{ et } \Delta_r S^\circ \text{ indépendants de } T \text{ dans l'approx. d'Ellingham})$$

$$= -RT \ln K^\circ$$

 ↑
 loi d'action des masses

$$\Rightarrow \boxed{K^\circ = \exp\left(-\frac{\Delta_r H^\circ}{RT} + \frac{\Delta_r S^\circ}{R}\right)}$$

$$K^\circ = \exp\left(\frac{92 \cdot 10^3}{8,3 \times 300} + \frac{-136}{8,3}\right) = 6,0 \cdot 10^5$$

6)
$$Q_n = \frac{P_{NH_3}^2 P_{O_2}}{P_{N_2} P_{H_2}^3} = \frac{x_{NH_3}^2 P^2 P_{O_2}}{x_{N_2} P x_{H_2}^3 P^3}$$

$$Q_n = \frac{x_{NH_3}^2}{x_{N_2} x_{H_2}^3} \left(\frac{P^\circ}{P}\right)^2$$

On part d'un état d'équilibre: $Q_n = K^\circ$
 On augmente P $\Rightarrow Q_n \propto \frac{1}{P^2} \searrow$
 $T = c^{te} \Rightarrow K^\circ = c^{te}$
 $\Rightarrow Q_n < K^\circ \Rightarrow \Delta_r G = RT \ln \frac{Q_n}{K^\circ} < 0$
 \Rightarrow évolution dans le sens 1.

Rq: loi de Le Châtelier OK: une augmentation de P à T et composition constantes d'un système à l'équilibre entraîne un déplacement ou une rupture d'équilibre dans le sens qui s'accompagne d'une diminution de la quantité de gaz, ici le sens 1 ($\sum_i \nu_i(g) = -2 < 0$).

variance = nombre de variables intensives - nombre de relations entre ces variables

$$= 5 - 2 = 3$$

$$P, T, x_{NH_3}, x_{H_2}, x_{N_2} \quad \left| \begin{array}{l} K^\circ(T) = Q_n \\ x_{NH_3} + x_{H_2} + x_{N_2} = 1 \end{array} \right.$$

\Rightarrow on peut fixer librement P et T (+ un autre paramètre intensif) sans rompre l'équilibre
 $\Rightarrow \uparrow P \Rightarrow$ déplacement de l'équilibre dans le sens 1

7) relation de Van't Hoff: $\frac{d \ln K^\circ}{dT} = \frac{\Delta_r H^\circ}{RT^2}$

ici $\Delta_r H^\circ < 0$, donc si $T \uparrow$, $dT > 0$,

$d \ln K^\circ < 0$, $K^\circ \downarrow$

$P = c^k \Rightarrow Q_n = c^k$

\Rightarrow partant d'un état d'équilibre ($Q_n = K^\circ$),

si $T \uparrow \Rightarrow K^\circ < Q_n \Rightarrow \Delta_r G = RT \ln \frac{Q_n}{K^\circ} > 0$

\Rightarrow évolution dans le sens indirect

cf variance \Rightarrow déplacement

$\uparrow T$ déplacera l'équilibre dans le sens 2

Bq: loi de Van't Hoff OK: une augmentation de T à P et composition constantes d'un système à l'équilibre entraîne un déplacement ou une rupture d'équilibre dans le sens endothermique (ici le sens 2, cf question 3)).

8) * Un catalyseur est un constituant chimique qui permet d'accélérer la cinétique d'une réaction chimique.

Il est généralement introduit en faible quantité.

Il n'apparaît pas dans l'équation-bilan de la réaction, car bien que participant à la réaction d'une étape intermédiaire (ce qui explique son influence sur la vitesse de la réaction), il est régénéré à une étape suivante.

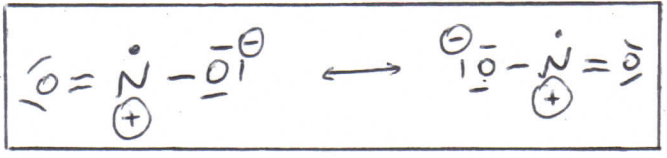
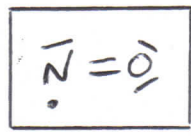
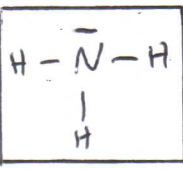
* D'après la question 7), pour favoriser la synthèse de l'ammoniac (sens 1), il faut, d'un point de vue thermodynamique, travailler à basse température.

La température est un facteur cinétique, mais si on veut que le rendement de la synthèse soit bon, il faut travailler à basse T.

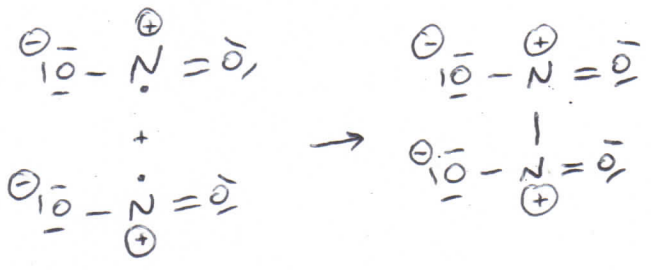
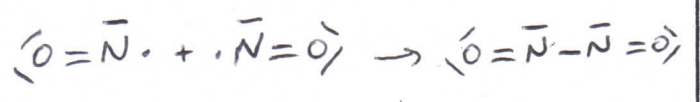
\Rightarrow utiliser un catalyseur permet d'accélérer la synthèse de l'ammoniac.

(sachant qu'on ne peut pas trop augmenter T pour des raisons thermodynamiques).

3) $\cdot \bar{N} \cdot + H \cdot \bar{O} \cdot$



10) NO et NO₂ sont des radicaux, c'est-à-dire qu'ils possèdent chacun un électron célibataire. Ils sont donc très réactifs, et peuvent se dimériser (NO en N₂O₂ et NO₂ en N₂O₄)



Remarque à propos de la question 3):

Une autre formule mésomère pour NO₂ est:

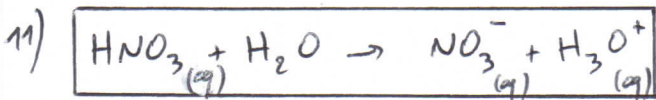


Mais cette formule a un poids statistique très faible car:

$\rightarrow \chi(O) > \chi(N) \Rightarrow O$ est + avide d'e et n'aura pas d'e célibataire

\rightarrow pas de liaison O-O lors de la dimérisation.

2) Diagramme potentiel-pH :



$$K_A = \frac{[\text{NO}_3^-][\text{H}_3\text{O}^+]}{[\text{HNO}_3] C_{\text{H}_2\text{O}}^0}$$

1 (solvant)

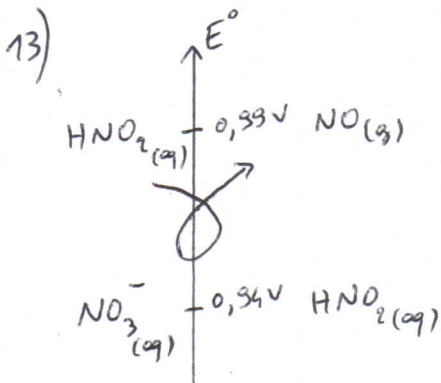
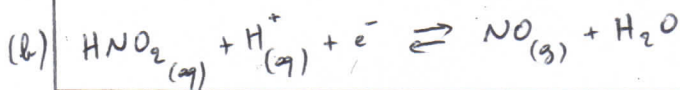
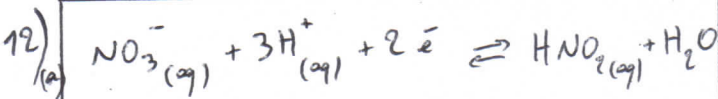
$$\Rightarrow -\log K_A = -\log [\text{H}_3\text{O}^+] - \log \frac{[\text{NO}_3^-]}{[\text{HNO}_3]}$$

↑ pK_A ↑ pH

$$\Rightarrow \text{pH} = \text{p}K_A + \log \frac{[\text{NO}_3^-]}{[\text{HNO}_3]}$$

→ si $\text{pH} > \text{p}K_A$, $[\text{NO}_3^-] > [\text{HNO}_3]$,
la forme basique prédomine.
or $\text{p}K_A = -1,37 < 0$!

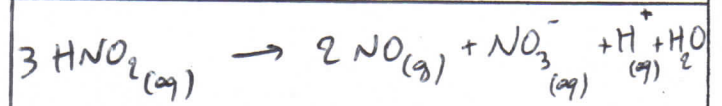
→ dans l'eau ($\text{pH} > 0$), HNO_3 est
totalement sous forme basique, il s'agit
d'un acide fort.



→ $\text{HNO}_2(\text{aq})$ (oxydant de $\text{HNO}_2(\text{aq})/\text{NO}(\text{g})$)
réagit quantitativement avec $\text{HNO}_2(\text{aq})$
(réducteur du couple $\text{NO}_3^-(\text{aq})/\text{HNO}_2(\text{aq})$)

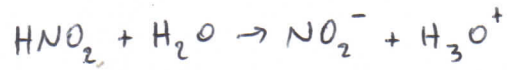
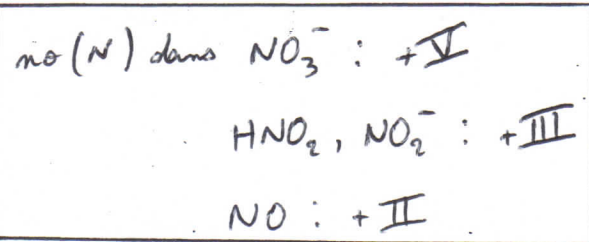
⇒ HNO_2 n'est pas stable.

2(b)-(a) :



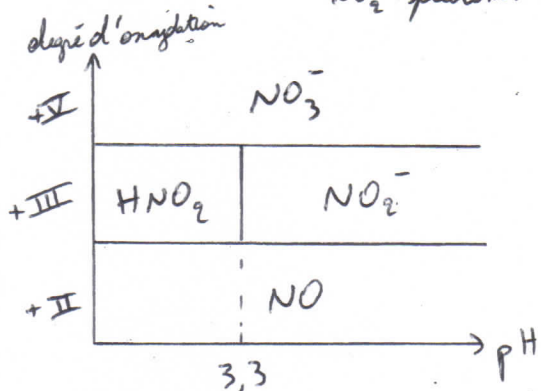
C'est une réaction de dismutation.

14) $\text{no}(\text{O}) = -\text{II}$ $\text{no}(\text{H}) = +\text{I}$

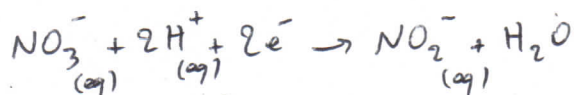
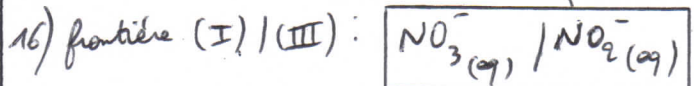
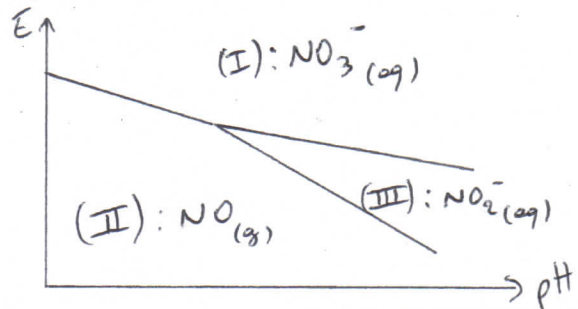


$$\text{pH} = \text{p}K_A + \log \frac{[\text{NO}_2^-]}{[\text{HNO}_2]}$$

→ si $\text{pH} > \text{p}K_A = 3,3$, $[\text{NO}_2^-] > [\text{HNO}_2]$,
 NO_2^- prédomine



15) Plus le degré d'oxydation est élevé, plus l'espèce
sera haute dans le diagramme E-pH.



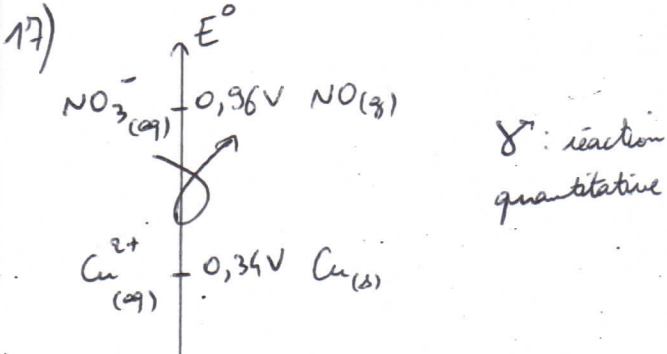
relation de Nernst:

$$E = E^{\circ}(\text{NO}_3^- / \text{NO}_2^-) + \frac{0,06}{2} \log \frac{[\text{NO}_3^-][\text{H}^+]^2}{[\text{NO}_2^-]c_{\text{H}_2\text{O}}^2}$$

(solvant)

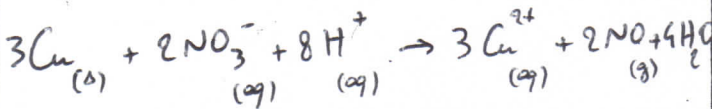
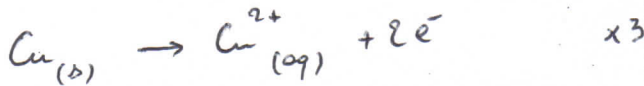
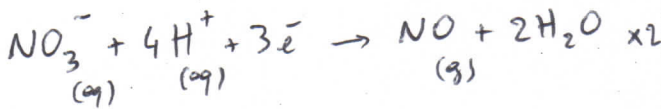
Sur cette frontière: $[\text{NO}_3^-] = [\text{NO}_2^-] = 1 \text{ mol} \cdot \text{L}^{-1}$

$$\Rightarrow E = E^{\circ}(\text{NO}_3^- / \text{NO}_2^-) - 0,06 \text{ pH}$$



HNO_3 est un acide fort = $\text{H}^+ + \text{NO}_3^-$

En milieu acide, on ne peut s'intéresser qu'au couple $\text{NO}_3^- / \text{NO}$ (HNO_2 instable)



$$m_{\text{Cu}_{\text{init}}} = \frac{m_{\text{Cu}_{\text{init}}}}{M_{\text{Cu}}} = \frac{12,7}{63,5} = 0,200 \text{ mol} = m_{\text{Cu}_{\text{init}}}$$

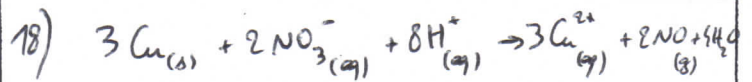
$$m_{\text{H}^+}^{\text{init}} = m_{\text{NO}_3^-}^{\text{init}} = m_{\text{HNO}_3} = cV = 2,00 \times 300 \cdot 10^{-3} = 0,600$$

$\text{HNO}_3 \rightarrow \text{H}^+ + \text{NO}_3^-$

$$m_{\text{H}^+}^{\text{init}} = m_{\text{NO}_3^-}^{\text{init}} = 0,600 \text{ mol}$$

$$\frac{8}{3} \times 0,200 = 0,533 < 0,600$$

→ le réactif limitant est $\text{Cu}_{(s)}$



EI	0,200	0,600	0,600	0	0	excès
t	$0,200 - 3x$	$0,600 - 2x$	$0,600 - 8x$	$3x$	$2x$	excès
EF	0	0,467	$6,67 \cdot 10^{-2}$	0,200	0,133	

$$m_{\text{Cu}_{(s)}_{\text{final}}} = 0 \Rightarrow 0,200 - 3x_f = 0 \Rightarrow x_f = 6,67 \cdot 10^{-2} \text{ mol}$$

$$m_{\text{NO}_3^-}_{\text{final}} = 0,600 - 2x_f$$

$$m_{\text{H}^+}_{\text{final}} = 0,600 - 8x_f$$

$$m_{\text{Cu}^{2+}}_{\text{final}} = 3x_f$$

$$m_{\text{NO}}_{\text{final}} = 2x_f$$

$$m_{\text{NO}_3^-}_{\text{final}} = 0,467 \text{ mol}$$

$$m_{\text{H}^+}_{\text{final}} = 6,67 \cdot 10^{-2} \text{ mol}$$

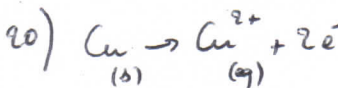
$$m_{\text{Cu}^{2+}}_{\text{final}} = 0,200 \text{ mol}$$

$$m_{\text{NO}}_{\text{final}} = 0,133 \text{ mol}$$

19) On forme $\text{NO}_{(g)}$

volume molaire $V_m =$ volume d'une mole.

$$n_{\text{gaz formé}} = \frac{V_{\text{gaz formé}}}{V_m}$$



$$\Rightarrow n_{\text{e}^- \text{ transférés}} = 2 m_{\text{Cu}_{(s)} \text{ consommé}} \quad (\text{Cu}_{(s)} \text{ en défaut})$$

$$= 2 \frac{m_{\text{Cu}_{\text{init}}}}{M_{\text{Cu}}}$$

charge transférée: Q

$$Q = \text{nb de moles d'e}^- \text{ transférés} \times \text{charge d'une mole d'e}^-$$

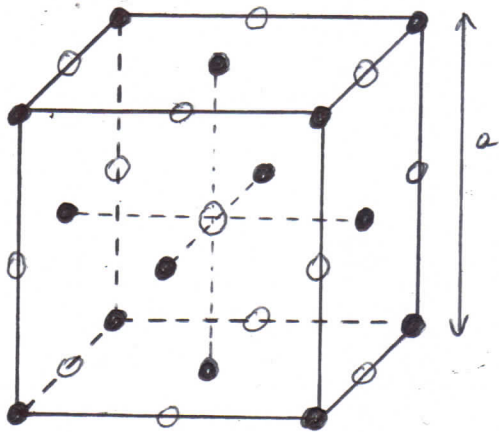
$$= n_{\text{e}^- \text{ transférés}} \times (-F)$$

$$Q = \frac{-2 m_{\text{Cu}_{\text{init}}} F}{M_{\text{Cu}}} = \frac{-2 \times 12,7 \times 9,65 \cdot 10^4}{63,5}$$

$$Q = -3,86 \cdot 10^4 \text{ C}$$

3) Le nitrure de titane :

21)



● : Ti : 1 atome à chaque sommet du cube
+ 1 atome au centre de chaque face.

○ : N : dans les sites octaédriques

↳ 1 au centre du cube

↳ au milieu de chaque arête

↳ 12 arêtes $\times \frac{1}{4}$ ← E à 4 mailles

$$\Rightarrow 1 + 12 \times \frac{1}{4} = 4 \text{ sites octaédriques par maille}$$

22) Ti : 1 atome à chaque sommet du cube

↳ 8 atomes $\times \frac{1}{8}$ ← E à 8 mailles

+ au centre de chaque face

↳ 6 faces $\times \frac{1}{2}$ ← E à 2 mailles

$$\Rightarrow 8 \times \frac{1}{8} + 6 \times \frac{1}{2} = 4 \text{ atomes de Ti par maille}$$

et 4 atomes de N par maille (4 sites octaédriques)

⇒ 4 motifs TiN par maille

N se trouve dans un site octaédrique

⇒ N a 6 atomes de Ti comme voisin

$$\Rightarrow \text{coordination } N/Ti = [6]$$

$$\text{De même, } \text{coordination } Ti/N = [6]$$

(si on considère que c'est N qui décrit une cfc décalée de $\frac{a}{2}$, Ti occupe tous les sites octaédriques).

$$\text{coordination } Ti/Ti = \text{coordination } N/N = [12]$$

(structure cfc : 6 dans le même plan, 3 au-dessus, 3 en dessous)

$$23) \mu = \frac{\text{masse d'une maille}}{\text{volume d'une maille}}$$

$$= \frac{4 \times \text{masse d'atome de Ti} + 4 \times \text{masse d'atome de N}}{a^3}$$

$$= \frac{4 \times \frac{M_{Ti}}{N_A} + 4 \times \frac{M_N}{N_A}}{a^3}$$

$$\mu = \frac{4(M_{Ti} + M_N)}{N_A a^3} = \frac{4 \times (48,0 + 14,0) \cdot 10^{-3}}{6,0 \cdot 10^{23} \times (425 \cdot 10^{-12})^3}$$

$$\mu \approx \frac{248 \cdot 10^{-3}}{6 \times 75 \cdot 10^{23} \cdot 10^{-30}} \approx \frac{250}{450} \cdot 10^4 \approx 5 \cdot 10^3$$

$$\mu \approx 5 \cdot 10^3 \text{ kg} \cdot \text{m}^{-3}$$

24) contact sur une arête du cube :

$$\Rightarrow a = r_{Ti} + 2r_N + r_{Ti}$$

$$\Rightarrow a = 2(r_{Ti} + r_N)$$

25) non contact sur la diagonale d'une face :

$$a\sqrt{2} > 4r_{Ti}$$

$$\Rightarrow r_{Ti} < \frac{a\sqrt{2}}{4}$$

26) Ti qui \Rightarrow contact sur la diagonale d'une face $\Rightarrow a\sqrt{2} = 4r_{Ti}$

rayon du site octaédrique: r_o

Sur une arête du cube: $a = 2(r_{Ti} + r_o)$

$$\Rightarrow \frac{4}{\sqrt{2}} r_{Ti} = 2\sqrt{2} r_{Ti} = 2r_{Ti} + 2r_o$$

$$\Rightarrow (\sqrt{2} - 1) r_{Ti} = r_o$$

27) $r_o = (\sqrt{2} - 1) r_{Ti} = 0,414 \times 145 \text{ pm}$

$$\Rightarrow r_o = 60,0 \text{ pm}$$

$$r_N = 65 \text{ pm} > r_o = 60,0 \text{ pm}$$

ce qui est conforme au fait qu'il n'y a pas contact entre 2 atomes de Ti.

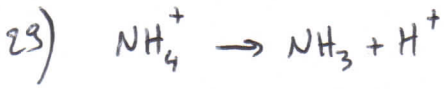
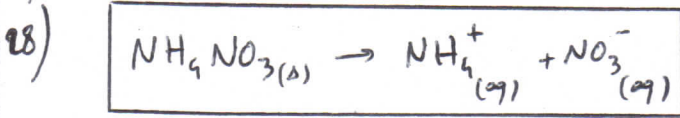
\Rightarrow la maille de Ti est déformée, agrandie, pour pouvoir loger les atomes d'azote.

$$\begin{aligned} \text{Par ailleurs: } 2(r_{Ti} + r_N) &= 2 \times (145 + 65) \\ &= 420 \text{ pm} \\ &< a = 425 \text{ pm} \end{aligned}$$

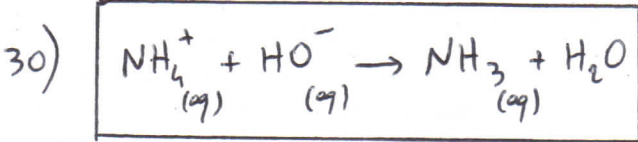
\Rightarrow il faut remettre en cause le modèle des sphères dures.

Les liaisons ne sont pas entièrement métalliques, mais peuvent être en partie covalentes.

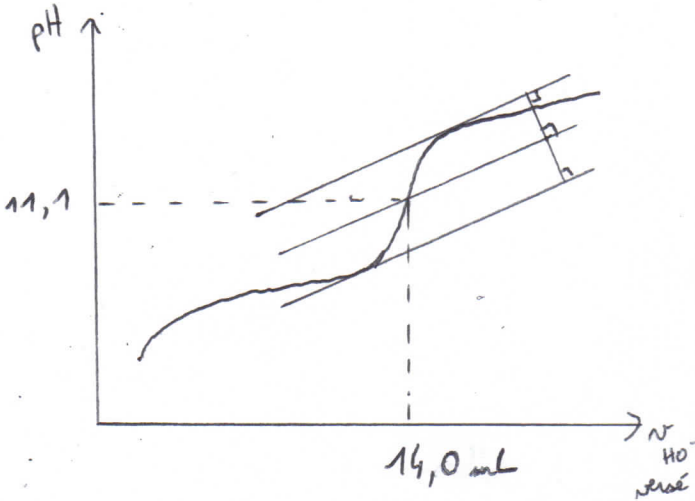
4) Tenue en élément azoté d'un engrais:



NH_4^+ libère H^+ , c'est un acide de Brønsted.



31) On peut utiliser la méthode des tangentes parallèles.



on obtient $N_{\text{NaOH eq}} = V_E = 14,0 \text{ mL}$

et $\text{pH} = 11,1$

32) espèces présentes: Na^+ , NO_3^-
(spectateurs)

NH_4^+ et HO^- ont quasiment réagi totalement pour former NH_3 (et H_2O)

+ traces de H_3O^+ , HO^- , etc.

NH_3 est une base faible:



→ formation de HO^- ⇒ $\text{pH} > 7$ OK pour un dosage acide faible - base forte

33)
$$m_{\text{NH}_4^+ \text{ dosé}} = m_{\text{HO}^-} = c V_E$$

(dans bécher) ↑ équivalence (cf 30)

$$m_{\text{NH}_4^+ \text{ dans fiole}} = \frac{V_0}{V_1} m_{\text{NH}_4^+ \text{ dosé}} = \frac{V_0}{V_1} c V_E$$

$$m_{\text{NH}_4^+ \text{ dans fiole}} = c V_E \frac{V_0}{V_1} = 0,200 \times 14,0 \cdot 10^{-3} \frac{250}{10,0} = 7,00 \cdot 10^{-2} \text{ mol OK}$$

cf 28):
$$m_{\text{NH}_4\text{NO}_3 \text{ présent}} = m_{\text{NH}_4^+ \text{ présent}} = 7,00 \cdot 10^{-2} \text{ mol} = m_{\text{NH}_4\text{NO}_3 \text{ présent fiole}}$$

34)
$$m_N = M_N n_N = 2 M_N m_{\text{NH}_4\text{NO}_3 \text{ fiole}}$$

↑
2 atomes d'azote pour 1 NH_4NO_3

$$m_N = 2 \times 14,0 \times 7,00 \cdot 10^{-2} = 1,96 \text{ g}$$

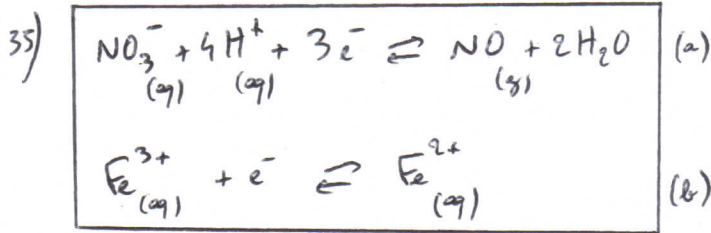
$$m_N = 1,96 \text{ g} \approx 2 \text{ g}$$

% en masse de N = $\frac{1,96}{6,00} \approx 32,7\%$
 $\approx 34,4\%$

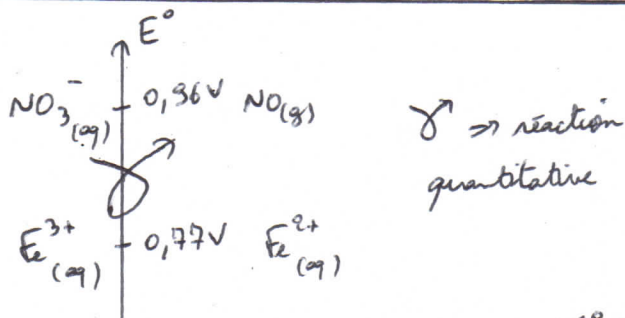
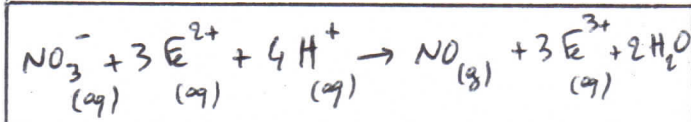
Sachant qu'il y a des erreurs au niveau des mesures, on peut dire que les indications du fabricant sont correctes.

5) Pollution par les nitrates : dosage indirect

des nitrates contenus dans une eau :



36) (a) - 3(b) :



Pour être plus complet, on peut calculer K° :

$$\Delta_r G^\circ = \Delta_r G_a^\circ - 3\Delta_r G_b^\circ$$

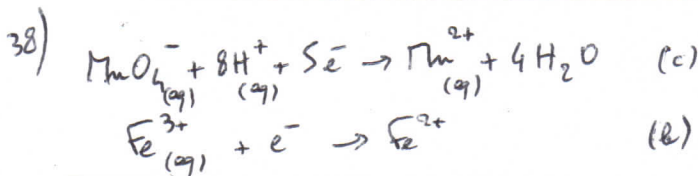
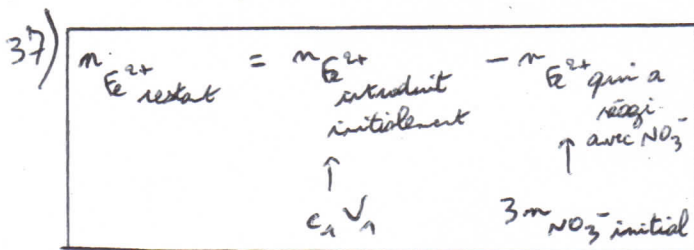
↓ loi d'action des masses

$$-RT \ln K^\circ = -3 \int E_a^\circ - 3(-1 \int E_b^\circ)$$

$$\Rightarrow \frac{RT}{\int} \ln K^\circ = 0,06 \log K^\circ = 3(E_a^\circ - E_b^\circ)$$

$$\Rightarrow K^\circ = 10^{\frac{0,96 - 0,77}{0,02}} = 10^{3,5} \gg 1$$

⇒ réaction quasi-totale.



(c) - 5(b) :



33) Cette réaction est quasiment totale (cf écart de E° , idem 36))

$$n_{\text{Fe}^{2+} \text{ dosé}} = 5 n_{\text{MnO}_4^- \text{ à l'équivalence}} = 5 c_2 V$$

$$\rightarrow = c_1 V_1 - 3 n_{\text{NO}_3^-}$$

$$\Rightarrow n_{\text{NO}_3^- \text{ ds échantillon}} = \frac{c_1 V_1 - 5 c_2 V}{3}$$

$$= \frac{1,00 \cdot 10^{-3} \times 100 \cdot 10^{-3} - 5 \times 3,00 \cdot 10^{-4} \times 11,0 \cdot 10^{-1}}{3}$$

$$= 2,78 \cdot 10^{-5} \text{ mol OK}$$

40)
$$C_{\text{NO}_3^- \text{ molaire}} = \frac{n_{\text{NO}_3^-}}{V_0} = \frac{2,78 \cdot 10^{-5}}{50,0 \cdot 10^{-3}} = 5,56 \cdot 10^{-4} \text{ mol} \cdot \text{L}^{-1}$$

$$C_{\text{NO}_3^- \text{ massique}} = C_{\text{NO}_3^-} \times M_{\text{NO}_3^-}$$

$$= 5,56 \cdot 10^{-4} \times 62,0 = 3,45 \cdot 10^{-2} \text{ g} \cdot \text{L}^{-1}$$

$$= 34,5 \text{ mg} \cdot \text{L}^{-1}$$

$< 50 \text{ mg} \cdot \text{L}^{-1} \Rightarrow$ l'eau est potable.

41) masse mani de $\text{NO}_3^- = 3,65 \text{ mg/kg}$
 $\times 35 \text{ kg}$
 $= 1,3 \cdot 10^2 \text{ mg}$

$$V_{\text{mani}} = \frac{\text{masse mani de NO}_3^-}{C_{\text{NO}_3^- \text{ massique}}} = \frac{1,3 \cdot 10^2}{34,5}$$

$$V_{\text{mani}} = 3,7 \text{ L pas si grand que ça!}$$

La marge n'est pas énorme!

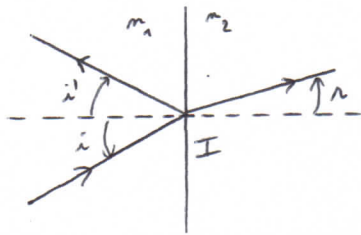
Pour une eau (légitime) à $50 \text{ mg} \cdot \text{L}^{-1}$, on trouve $V_{\text{mani}} = 2,5 \text{ L}$. Un enfant de 35 kg ne boit sans doute pas 2,5 L d'eau par jour, mais la marge de sécurité n'est pas très élevée.

DEUXIEME PROBLEME: Spectroscopie à prisme

(d'après Banque PT 2005)

1) Lois de Descartes pour la réflexion et la réfraction:

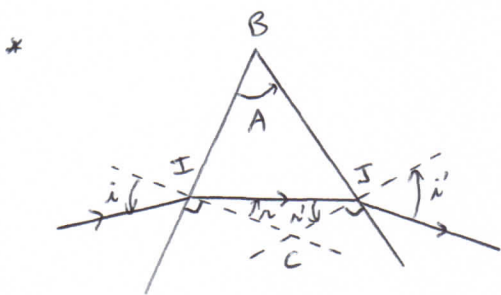
* Tous les rayons (incident, réfléchi et réfracté) sont contenus dans un même plan, c'est-à-dire le plan d'incidence défini par le rayon incident et la normale au dioptre en I.



* $n_1 \sin i = n_2 \sin r$ réfraction (on suppose ici qu'il y a toujours un rayon émergent, il n'y a donc pas de réflexion totale)
 $i' = -i$ réflexion

→ en I : $\sin i = n \sin r$

en J : $n \sin r' = \sin i'$



Dans le quadrilatère BICS :

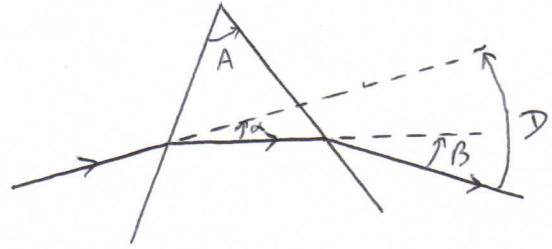
$$2\pi = A + \frac{\pi}{2} + \widehat{JCI} + \frac{\pi}{2} \Rightarrow \widehat{JCI} = \pi - A$$

Dans le triangle ISC :

$$\pi = r + r' + \widehat{JCI}$$

$$\Rightarrow r + r' + \pi - A = \pi \Rightarrow \boxed{r + r' = A}$$

2)



$$D = \alpha + \beta$$

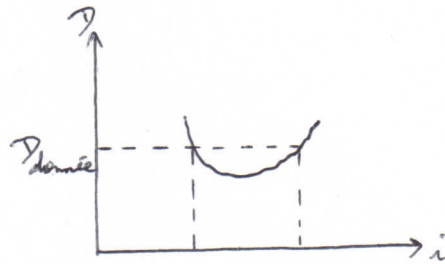
$$\text{or } \alpha = i - r \text{ et } \beta = i' - r'$$

$$\Rightarrow D = i - r + i' - r' = i + i' - \underbrace{(r + r')}_A$$

$$\Rightarrow \boxed{D = i + i' - A}$$

Un angle d'incidence i donne un angle d'émergence i' , et donc, par le principe de retour inverse de la lumière, un angle d'incidence i' donnera un angle d'émergence i . Etant donné que $D = i + i' - A$, les couples (i, i') et (i', i) donneront la même déviation D .

→ la déviation est la même pour 2 angles, d'où l'allure de la courbe :



→ 2 solutions pour i : i et i'

→ $i = i'$ au minimum de la courbe.

3) Au minimum de déviation, $i = i'$.

→ $r = r'$ d'après les lois de Descartes (ou d'après la symétrie par rapport à la bissectrice de l'angle \hat{A}).

$$r = r' \text{ or } r + r' = A \Rightarrow r_0 = r = r' = \frac{A}{2}$$

$$\Rightarrow \sin i_0 = n \sin \frac{A}{2} \quad (\text{loi de Descartes})$$

$$\Rightarrow i_0 = \text{Arcsin} \left(n \sin \frac{A}{2} \right)$$

$$D = i + i' - A \Rightarrow D_m = 2i_0 - A$$

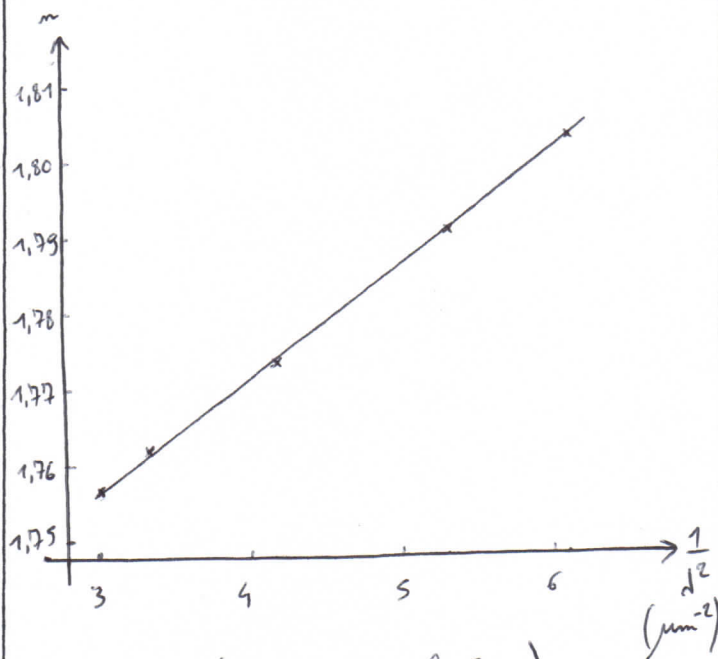
$$\Rightarrow i_0 = \frac{A + D_m}{2} = \text{Arcsin} \left(n \sin \frac{A}{2} \right)$$

$$\Rightarrow \sin \left(\frac{A + D_m}{2} \right) = n \sin \frac{A}{2}$$

$$\Rightarrow n = \frac{\sin \left(\frac{A + D_m}{2} \right)}{\sin \left(\frac{A}{2} \right)}$$

4) f est la fonction sinus

5) On trace la courbe $n = f\left(\frac{1}{\lambda^2}\right)$. On obtient une droite de pente b et d'ordonnée à l'origine a .



On obtient: (par régression linéaire)

$$n = 1,712 + \frac{0,01491}{\lambda^2} \quad \text{avec } \lambda \text{ en } \mu\text{m}$$

Le prisme est dispersif car l'indice n dépend de la longueur d'onde λ , donc la célérité de l'onde lumineuse ($= \frac{c}{n}$) dépend de λ .

$$6) n = 1,777 = 1,712 + \frac{0,01491}{\lambda^2}$$

$$\Rightarrow \lambda = 0,4783 \mu\text{m}$$

$$\Rightarrow \lambda = 478,3 \text{ nm}$$

\Rightarrow couleur bleue (tirant vers le vert)

TROISIEME PROBLEME: Optique géométrique (langue PT 2009)

PARTIE A: Règle de "SCHEIMPFLUG"

I) Image réelle d'un objet réel rectiligne dans un plan frontal

1) relation de conjugaison: $-\frac{1}{OC} + \frac{1}{OC'} = \frac{1}{OF'}$

$\Rightarrow \frac{1}{dc} + \frac{1}{di} = \frac{1}{f'}$ $\Rightarrow \frac{1}{di} = \frac{1}{f'} - \frac{1}{dc}$

$\Rightarrow \boxed{di = \frac{f' dc}{dc - f'}}$

2) grandissement $\gamma = \frac{\overline{C'B'}}{\overline{CB}} = \frac{\overline{OC'}}{\overline{OC}}$
 def. relation de conjugaison

$\Rightarrow \overline{C'B'} = \frac{\overline{OC'}}{\overline{OC}} \overline{CB} = \frac{di}{-dc} \overline{CB}$
 \uparrow
 $-H$

$\Rightarrow \boxed{\overline{C'B'} = H \frac{di}{dc}} > 0$ (l'image est renversée par rapport à $\overline{CB} < 0$)

3) $di = \frac{f' dc}{dc - f'} = 4 \text{ cm} = di$

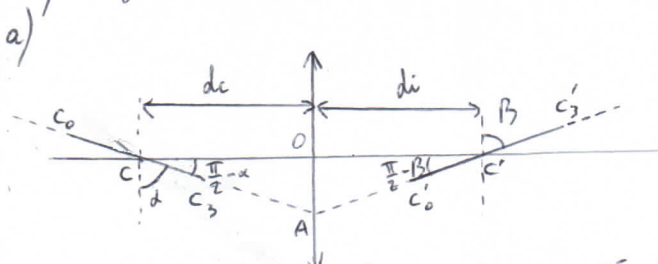
4) $di = \frac{f' dc}{dc - f'} \Rightarrow x' = \frac{f'(-x)}{(-x) - f'}$ ($dc > 0$, $x < 0$)

$\Rightarrow \boxed{x' = \frac{f' x}{f' + x}}$

$\gamma = \frac{y'}{y} = \frac{x'}{x} \Rightarrow y' = \frac{y}{x} x' = \frac{f' y}{f' + x} = y'$
 def. relation de conjugaison

II) Image d'un objet rectiligne incliné: règle de Scheimpflug:

1) la règle de Scheimpflug:



Dans cette question, les angles ne sont pas orientés.

Le rayon passant par $C_0 C C_3$ doit sortir en passant par $C'_0 C C'_3$ ($C_0 \rightarrow C'_0$, $C \rightarrow C'$, $C_3 \rightarrow C'_3$)

$\Rightarrow \tan\left(\frac{\pi}{2} - \alpha\right) = \frac{1}{\tan \alpha} = \frac{OA}{dc} \Rightarrow OA = \frac{dc}{\tan \alpha}$

$\tan\left(\frac{\pi}{2} - \beta\right) = \frac{1}{\tan \beta} = \frac{OA}{di} \Rightarrow OA = \frac{di}{\tan \beta}$

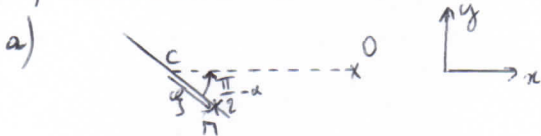
$\Rightarrow \frac{dc}{\tan \alpha} = \frac{di}{\tan \beta}$ ($\alpha, \beta > 0$)

en prenant dans angles α et β algébriques ($\alpha > 0, \beta < 0$)

$\Rightarrow \boxed{\frac{dc}{\tan \alpha} = -\frac{di}{\tan \beta}}$

b) $di = 4 \text{ cm}$, $dc = 10 \text{ cm}$, $\alpha = -57^\circ$ $\Rightarrow \boxed{\beta = 33^\circ}$

2) Position de l'image d'un point:

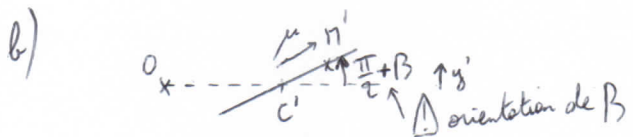


$\vec{OM} = \vec{OC} + \vec{CM} = \begin{pmatrix} -dc \\ 0 \end{pmatrix} + \rho \begin{pmatrix} \cos\left(\frac{\pi}{2} - \alpha\right) \\ -\sin\left(\frac{\pi}{2} - \alpha\right) \end{pmatrix} = \begin{pmatrix} x \\ y \end{pmatrix}$

$\begin{cases} x = -dc + \rho \sin \alpha \\ y = -\rho \cos \alpha \end{cases}$

cf I-4) $y' = \frac{f' y}{f' + x} = \frac{-f' \rho \cos \alpha}{f' - dc + \rho \sin \alpha}$

point	M	M'
abscisse	$x = -dc + \rho \sin \alpha$	
ordonnée	$y = -\rho \cos \alpha$	$y' = \frac{-f' \rho \cos \alpha}{f' - dc + \rho \sin \alpha}$



$y' = \rho \sin\left(\frac{\pi}{2} + \beta\right) = \rho \cos \beta$

$\boxed{y' = \rho \cos \beta}$

$$c) \mu = \frac{y'}{\cos \beta} = \frac{-f' \frac{\cos \alpha}{\cos \beta} \varphi}{f' - dc + \varphi \sin \alpha}$$

$$\mu = \frac{f' \frac{\cos \alpha}{\cos \beta} \varphi}{dc - f' - \varphi \sin \alpha} = \frac{\frac{f'}{dc - f'} \frac{\cos \alpha}{\cos \beta} \varphi}{1 - \frac{\sin \alpha}{dc - f'} \varphi}$$

$$\mu = \frac{K \varphi}{1 - \mathcal{D} \varphi} \quad \text{avec } \mathcal{D} = \frac{\sin \alpha}{dc - f'}$$

$$\text{et } K = \frac{f'}{dc - f'} \frac{\cos \alpha}{\cos \beta}$$

3) Déformation de l'image d'un objet :

on relève $\mu_3 = 5,4 \text{ cm}$ et $\mu_0 = -4,3 \text{ cm}$

$$\mu_3 = \frac{K \varphi_3}{1 - \mathcal{D} \varphi_3} \quad (\text{sur l'énoncé original}) \quad \mu_0 = \frac{K \varphi_0}{1 - \mathcal{D} \varphi_0}$$

$$\Rightarrow \frac{\mu_3}{\mu_0} = \frac{K \varphi_3}{1 - \mathcal{D} \varphi_3} \frac{1 - \mathcal{D} \varphi_0}{K \varphi_0}$$

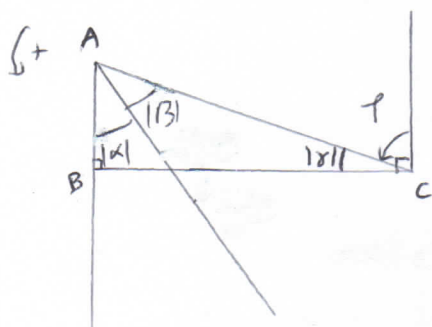
$$\Rightarrow \mu_3 \varphi_0 (1 - \mathcal{D} \varphi_3) = \mu_0 \varphi_3 (1 - \mathcal{D} \varphi_0)$$

$$\begin{aligned} \mu_3 \varphi_0 - \mu_0 \varphi_3 &= \mu_3 \varphi_0 \varphi_3 \mathcal{D} - \mu_0 \varphi_3 \varphi_0 \mathcal{D} \\ &= \varphi_0 \varphi_3 (\mu_3 - \mu_0) \mathcal{D} \end{aligned}$$

$$\Rightarrow \mathcal{D} = \frac{\mu_3 \varphi_0 - \mu_0 \varphi_3}{\varphi_0 \varphi_3 (\mu_3 - \mu_0)} = 7,6 \text{ m}^{-1} = \mathcal{D}$$

$$\alpha \quad \mathcal{D} = \frac{\sin \alpha}{dc - f'} \quad \Rightarrow \quad \alpha = 27^\circ$$

Rq: Après passage dans un scanner, puis une photocopie, il est possible que les longueurs μ_3 et μ_0 mesurées sur cet énoncé ne soient pas les mêmes que sur le sujet original.



Dans le triangle rectangle ABC :

$$(|\alpha| + |\beta|) + |\gamma| + \frac{\pi}{2} = \pi \Rightarrow |\gamma| = \frac{\pi}{2} - |\alpha| - |\beta|$$

$$\text{or } \gamma = \frac{\pi}{2} - |\gamma| = |\alpha| + |\beta| = \beta - \alpha$$

$$(\beta > 0, \alpha < 0)$$

$$\boxed{\gamma = \beta - \alpha = 91^\circ}$$

e) * On peut vérifier que les valeurs numériques de B et C correspondent bien à $B = K$ et $C = -D$ dans la partie

$$* x = \frac{BZ}{1+CZ} \Rightarrow x + xCZ = BZ \quad A) \text{ II) c)}$$

$$\Rightarrow x = Z(B - Cx) \Rightarrow Z = \frac{x}{B - Cx}$$

Étude de la fonction $Z(x) = \frac{x}{B - Cx}$

$$Z'(x) = \frac{(B - Cx) - x(-C)}{(B - Cx)^2} = \frac{B}{(B - Cx)^2} > 0$$

$Z \nearrow$ avec x

$$\Rightarrow Z_i = Z\left(x = -\frac{L}{2}\right) = \frac{-\frac{L}{2}}{B + C\frac{L}{2}}$$

$$Z_s = Z\left(x = +\frac{L}{2}\right) = \frac{\frac{L}{2}}{B - C\frac{L}{2}}$$

$$\boxed{Z_i = \frac{-\frac{L}{2}}{B + C\frac{L}{2}} = -25 \text{ mm}}$$

$$\boxed{Z_s = \frac{\frac{L}{2}}{B - C\frac{L}{2}} = 63 \text{ mm}}$$

$$c) Z = \frac{x}{B - Cx} \quad \text{et } x = \frac{U_s}{A} \Rightarrow Z = \frac{U_s}{AB - CU_s}$$

$$\ln Z = \ln U_s - \ln(AB - CU_s)$$

$$\frac{dZ}{Z} = \frac{dU_s}{U_s} - \frac{d(AB - CU_s)}{AB - CU_s} = \frac{dU_s}{U_s} + C \frac{dU_s}{AB - CU_s}$$

$$\Rightarrow dZ = Z \left(\frac{1}{U_s} + \frac{C}{AB - CU_s} \right) dU_s$$

$$\text{or } \frac{1}{AB - CU_s} = \frac{Z}{U_s} \Rightarrow dZ = \frac{Z}{U_s} (1 + CZ) dU_s$$

$$\text{or } \frac{Z}{U_s} = \frac{1 + CZ}{AB} \quad \text{car } x = \frac{U_s}{A} = \frac{BZ}{1 + CZ}$$

$$\Rightarrow dZ = \frac{(1 + CZ)^2}{AB} dU_s$$

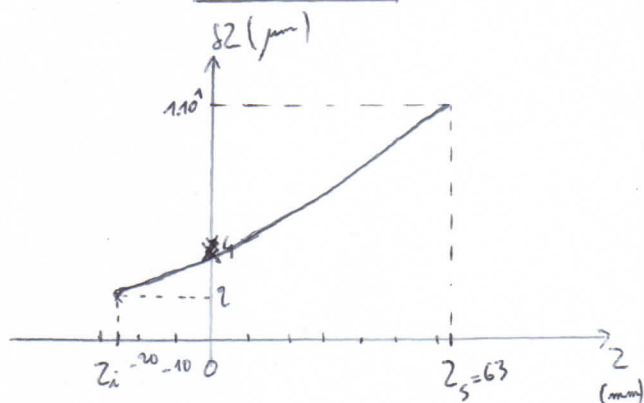
$$\boxed{\delta Z = \frac{(1 + CZ)^2}{AB} \delta U_s}$$

$$d) \alpha) * Z = 0 : \delta Z = 4 \mu\text{m}$$

$$* Z = Z_i : \delta Z = 2 \mu\text{m}$$

$$* Z = Z_s : \delta Z = 1.10^1 \mu\text{m}$$

d) B)



4) Discussion :

Si la cible réfléchissait la lumière, alors le point cible ne se comporterait pas comme un diétre lumineux ponctuel. La lumière se répartirait que dans une direction (loi de Descartes).